

Лит.: Акустика океана, под ред. Л. М. Бреховских, М., 1974; Infrasound and low frequency vibration, ed. by W. Tempest, L.—[a. o.], 1976; Римонов Л., Les infra-sons, Р., 1976.
И. П. Голямина.

ИНФРАКРАСНАЯ АСТРОНОМИЯ — область наблюдательной астрофизики, объединяющая методы и результаты исследований излучения астр. объектов в ИК-диапазоне ($0,7 \text{ мкм} — 1 \text{ мм}$). Иногда как часть И. а. выделяют суб миллиметровую астрономию ($0,1—1 \text{ мм}$). Первым шагом в истории И. а. было открытие ИК-излучения Солнца [У. Гершель (W. Herschel), 1800].

Методы И. а. Земная атмосфера прозрачна только в отд. участках (полосах) ИК-области спектра (табл.). Поглощение обусловлено в основном водяным паром. Его концентрация быстро убывает с высотой и на высоте $\sim 12 \text{ км}$ прибл. в 10^3 раз меньше, чем на уровне моря. Поэтому большие возможности для И. а. открываются при установке аппаратуры на аэростатах и высотных самолётах. Наилучшие результаты даёт вывод ИК-телескопа в космос. При этом оказывается возможным полностью охладить всю его оптику и резко снизить инструментальный фон теплового излучения, который также существенно ограничивает возможности наземных измерений. Первый космич. ИК-телескоп был установлен на спутнике «ИРАС» (Infrared Astronomical Satellite; Нидерланды, США и Великобритания, 1983). Он проработал ок. года, время жизни ограничивалось запасом жидкого гелия на борту.

Потоки ИК-излучения звёзд в окнах прозрачности земной атмосферы

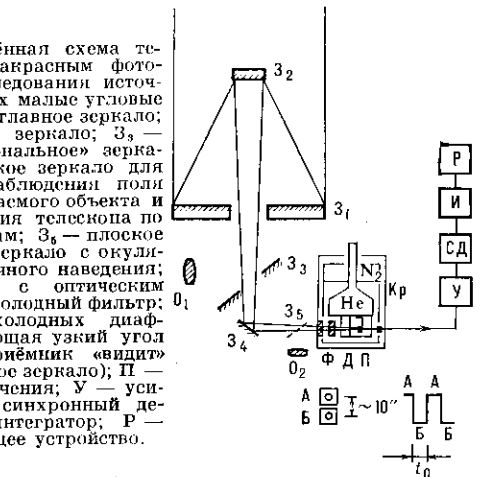
Фотометрическая полоса			Поток от звезды пульсовой величины	Предельная величина для телескопа диаметром 1,25 м (2)
Обозначение (1)	λ_e , мкм	$\Delta\lambda$, мкм	$\text{Вт}\cdot\text{см}^{-2}\cdot\text{мкм}^{-1}$	
I	0,90	0,1	$8,3 \cdot 10^{-13}$	$13''$
J	1,25	0,3	$3,4 \cdot 10^{-13}$	$13''$
H	1,6	0,35	$1,37 \cdot 10^{-13}$	$13''$
K	2,2	0,5	$4,14 \cdot 10^{-14}$	$13''$
L	3,5	0,9	$6,38 \cdot 10^{-15}$	$12''$
M	5,0	1,0	$1,82 \cdot 10^{-16}$	$7''$
N	10,2	5	$9,7 \cdot 10^{-17}$	$2''$
Q	20	10	$6,5 \cdot 10^{-18}$	$-1''$

(1) I, J и т. д. — обозначения полос, широко применяемых в ИК-астрономии для фотометрических исследований звёзд и галактик при помощи фильтров (см. Астрофотометрия); они соответствуют окнам прозрачности земной атмосферы; λ_e — эффективная длина волны, $\Delta\lambda$ — ширина полосы по уровню 0,5.

(2) Время накопления сигналов 1 мин, среднеквадратичная ошибка $0,05''$. Оценки (кроме I) даны по результатам измерений с JHKLM-фотометром и NQ-фотометром Южной станции ГАИШ. В N и Q возможно улучшение на $2-3''$ при дальнейшей оптимизации конструкции фотометра (уменьшение инструментального фона). Для сравнения укажем, что в визуальной области спектра (полоса V, $\lambda_e = 0,55 \text{ мкм}$) предельная звёздная величина $\sim 15''$ при тех же условиях.

Для детального исследования в окнах прозрачности земной атмосферы отд. источников с известными координатами широко применяются наземные телескопы с ИК-регистрирующей аппаратурой. На рис. 1 приведена упрощённая схема измерений, применяемая в И. а. для фотометрии источников с малыми угл. размерами (звёзд, галактик, астероидов и др.), а в табл. даны предельные звёздные величины. Зеркало Z_2 (рис. 1) совершает периодич. колебания (частота $\sim 20 \text{ Гц}$), в результате которых в плоскости приёмной площадки образуются два изображения звезды (A и B), разнесённые на расстояние несколько большее, чем размеры приёмной пло-

щадки. При измерениях смещением всего телескопа на малый угол ($\sim 10''$) приёмная площадка совмещается соперменно (с периодом t_0 , обычно неск. десятков секунд) с изображениями A и B, в результате чего зависимость сигнала от времени на выходе СД имеет вид кривой, показанной на рис. 1 справа внизу. При такой схеме измерений излучение звезды выделяется на фоне



потока теплового излучения прибора с наименьшими потерями. В качестве приёмников в И. а. наиб. эффективно используются фотодиоды InSb в фотовольтаич. режиме (охлаждение твёрдым азотом до 60 К) и полу проводниковые болометры на основе германия, легированного галлием ($\sim 2 \text{ К}$ — жидккий гелий с откачкой).

Для изучения спектров с разрешающей силой $\lambda/\Delta\lambda \geq 100$ в И. а. с успехом применяется Фурье спектроскопия. Она оказалась совершенно незаменимой при измерении спектров теплового излучения планет и Земли с борта космич. аппаратов. Примеры спектров, полученных с помощью Фурье спектрометра, приведены на рис. 2. Даны идентификация полос поглощения, принадлежащих атм. газам, а также веществу частиц облаков (H_2SO_4 — в случае Венеры). Регистрировалось излучение разл. областей планеты (характерный разм. — неск. десятков км). По этим спектрам определялись вертикальный температурный профиль, содержащие малых составляющих, вертикальное распределение аэрозоля в атмосферах.

Результаты И. а. В 20-х гг. 20 в. были проведены первые измерения теплового излучения Луны и планет (в диапазоне $8-13 \text{ мкм}$), определены темп-ры поверхности Луны, Меркурия, Марса, верх. границы облаков Венеры и Юпитера. Позднее ИК-спектры Венеры и Марса показали присутствие в их атмосферах CO_2 (к-рый оказался их осн. составляющей) и целого ряда др. газов — CO , H_2O , на Венере, кроме того, HCl и HF . При помощи наземного телескопа с Фурье спектрометром были получены спектры этих планет в диапазоне $1-2,5 \text{ мкм}$ с разрешающей силой $\lambda/\Delta\lambda \approx 10^6$. Информативность ИК-методов исследования планет резко увеличилась с началом полётов к ним космич. аппаратов. ИК-радиометры и спектральные приборы на космич. аппаратах «Марс-3», «Марс-5», «Маринер-9», «Викинг-1, -2» (США) дали информацию о широтных и суточных вариациях темп-ры, содержания H_2O в атмосфере, а также данные о рельефе поверхности Марса. Анализ ИК-излучения Венеры по измерениям с борта её искусств. спутников «Пионер-Венера» и «Венера-15» выявил существенные широтные вариации строения мезосферы и облачного слоя, в т. ч. существование двух гигантских воронок (похожий верх. границы облачного слоя) в полярных широтах. Из-за большой интенсивности уходящего теплового излучения в этих приполлярных областях совершиенно необычным оказал-